Физическая природа закона всемирного тяготения И. Ньютона. Эксперименты С.Э. Шноля и А.Н. Козырева. Объяснение красных смещений в законе Хаббла и космического микроволнового фона

Баренбаум А.А. ИПНГ РАН, Москва

Цель сообщения

- 1. Познакомить с экспериментами С.Э. Шноля и Н.А. Козырева
- 2. На основе анализа этих экспериментов доказать реальность гравитонов носителей корпускулярных свойств гравитации.
- 3. Предложить объяснение гравитонами физической природы «мгновенного» дальнодействия закона тяготения Ньютона.
- 4. Объяснить на основе новых представлений закон красных смещений Хаббла и происхождение и свойства космического микроволнового фона.

Закон всемирного тяготения Ньютона (1687)

Любая масса притягивает другую любую массу с силой, прямо пропорциональной произведению их масс и обратно пропорциональной квадрату расстояния между ними. Эта сила действует вдоль линии, соединяющей две массы.

Физическая природа закона всемирного тяготения Ньютона в современной физике пока не объяснена

Закон всемирного тяготения Ньютона (1687)

Любая масса притягивает другую любую массу с силой, прямо пропорциональной произведению их масс и обратно пропорциональной квадрату расстояния между ними. Эта сила действует вдоль линии, соединяющей две массы.

Физическая природа закона всемирного тяготения Ньютона в физике пока не объяснена

Такое объяснение позволяют дать результаты экспериментов С.Э. Шноля и Н.А. Козырева

Проблема гравитации

В физике все фундаментальные силовые взаимодействия (таблица) происходят с передачей квантов энергии, которую переносят элементарные частицы виртуальные или реальные.

Взаимодействие	Частица-переносчик	Свойства
Электромагнитное	Фотон	Спин = 1, нет массы и электрического заряда.
Слабое	W⁺, W⁻И Z⁰ бозоны	S = 1, имеют массу, W± имеют магнитный момент, а Z ⁰ — нет
Сильное	Глюоны	S = 1, нет массы и электрического заряда.
Гравитационное	Гравитоны (?)	S = 2, 1 или 0, нет массы и заряда, скорость света С.

Согласно «Стандартной модели» физики элементарных частиц, все эти частицы обладают корпускулярными и волновыми свойствами. При этом фотоны, векторные бозоны и глюоны предсказаны и обнаружены. Тогда как <u>гравитоны лишь предполагаются и пока не открыты</u>.

Теоретически ожидается, что если гравитоны существуют, они <u>являются нейтральными</u> <u>безмассовыми бозонами со спином 2, которые движутся со скоростью света и в слабом гравитационном поле обеспечивают выполнение закона всемирного тяготения Ньютона. Масса гравитонов составляет ~10⁻⁶⁴ г (Wikipedia).</u>

Полагают, что открытие гравитонов позволит объединить две основные теории, на которых построена современная физика: ОТО и квантовую механику. Но <u>их объединение</u> <u>сталкивается с серьезными теоретическими трудностями</u> (Wikipedia)

Тяготение Ньютона:

В законе всемирного тяготения И. Ньютона фигурирует СИЛА ГРАВИТАЦИОННОГО ПРИТЯЖЕНИЯ, которая оказывает <u>мгновенное силовое воздействие</u> на любой объект с массой, находящийся <u>на расстоянии</u>.

Гравитация в современной физике:

Сила гравитации подменяется ФИЗИЧЕСКИМ ПОЛЕМ, пронизывающим <u>пространство</u>. Любая масса в этом <u>пространстве</u>, испытывает силу притяжения, которая пропорциональна массе и НАПРЯЖЕННОСТИ ПОЛЯ в месте нахождения массы.

Доказательства открытия гравитонов в экспериментах С.Э. Шноля и Н.А. Козырева



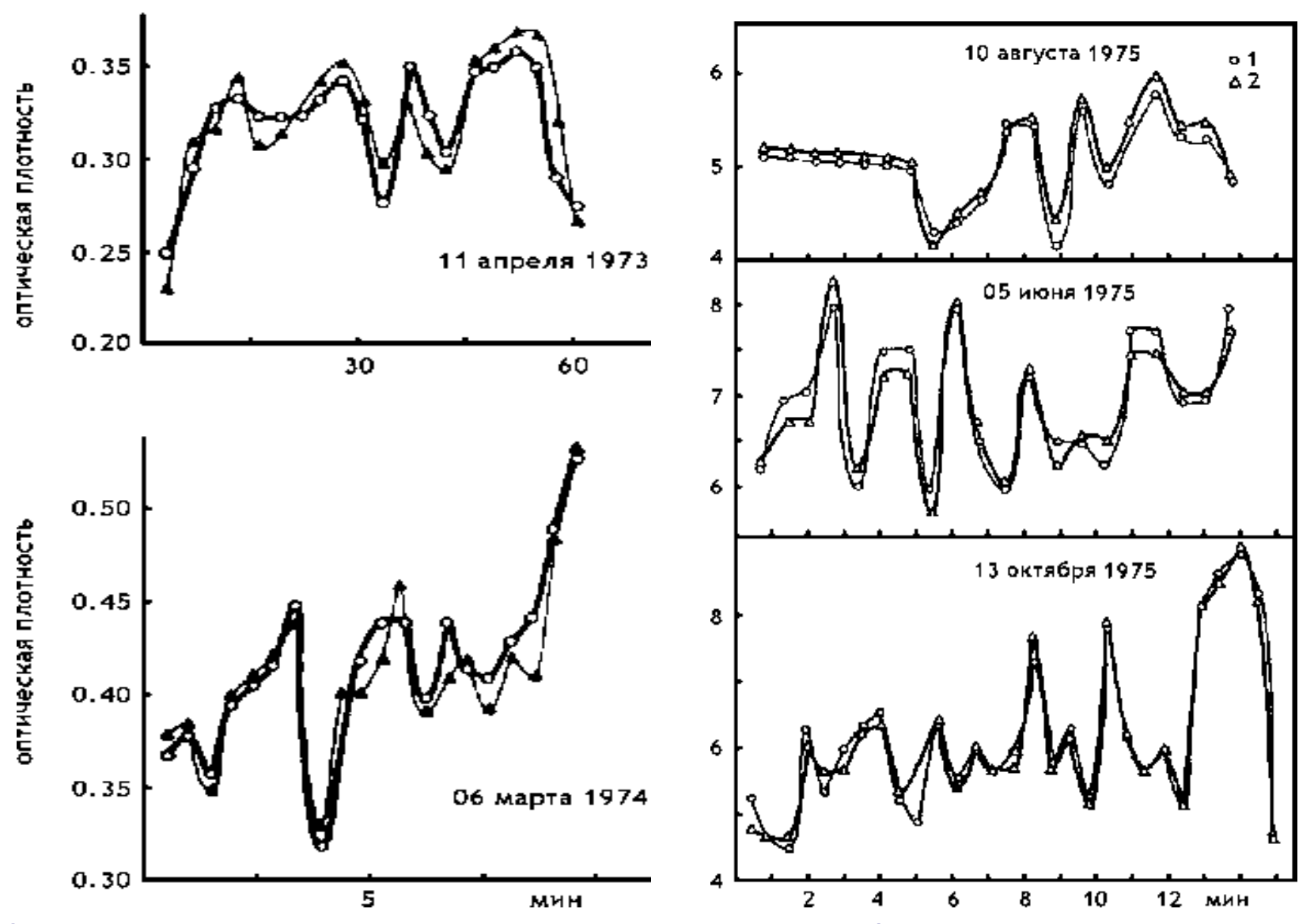
Симон Эльевич Шноль (21.03.1930 — 11. 09.2021) доктор биологических наук (1970), профессор каф. биофизики физфака МГУ, зав.лаборатории физической биохимии ИТЭБ РАН (Пущино)

Эксперименты С.Э. Шноля

Изучение макроскопических флуктуаций (МФ) процессов разной физической природы в разное время и местах земного шара. Макроскопические флуктуации изучались на протяжении 60 лет.

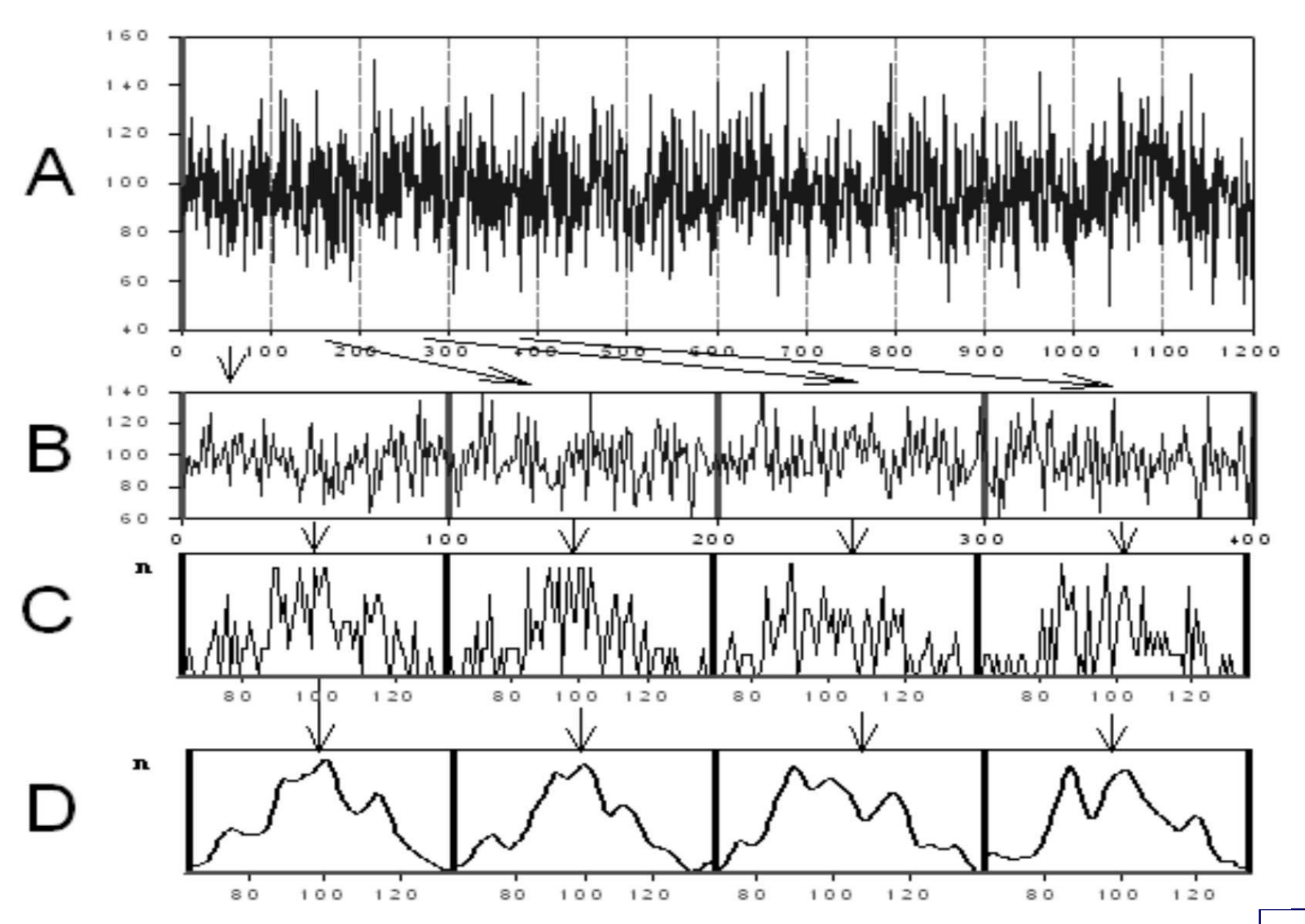
- 1 Этап (1954-1983) Химические и биологические процессы
- 2 Этап (1983 2021) α и β распад радиоактивных элементов, шумы полупроводниковых устройств, геомагнитные процессы, процессы электромагнетизма и др.
- 3. Обработка результатов измерений на ЭВМ

1 ЭТАП: Гистограммы МФ в химических и биологических реакциях

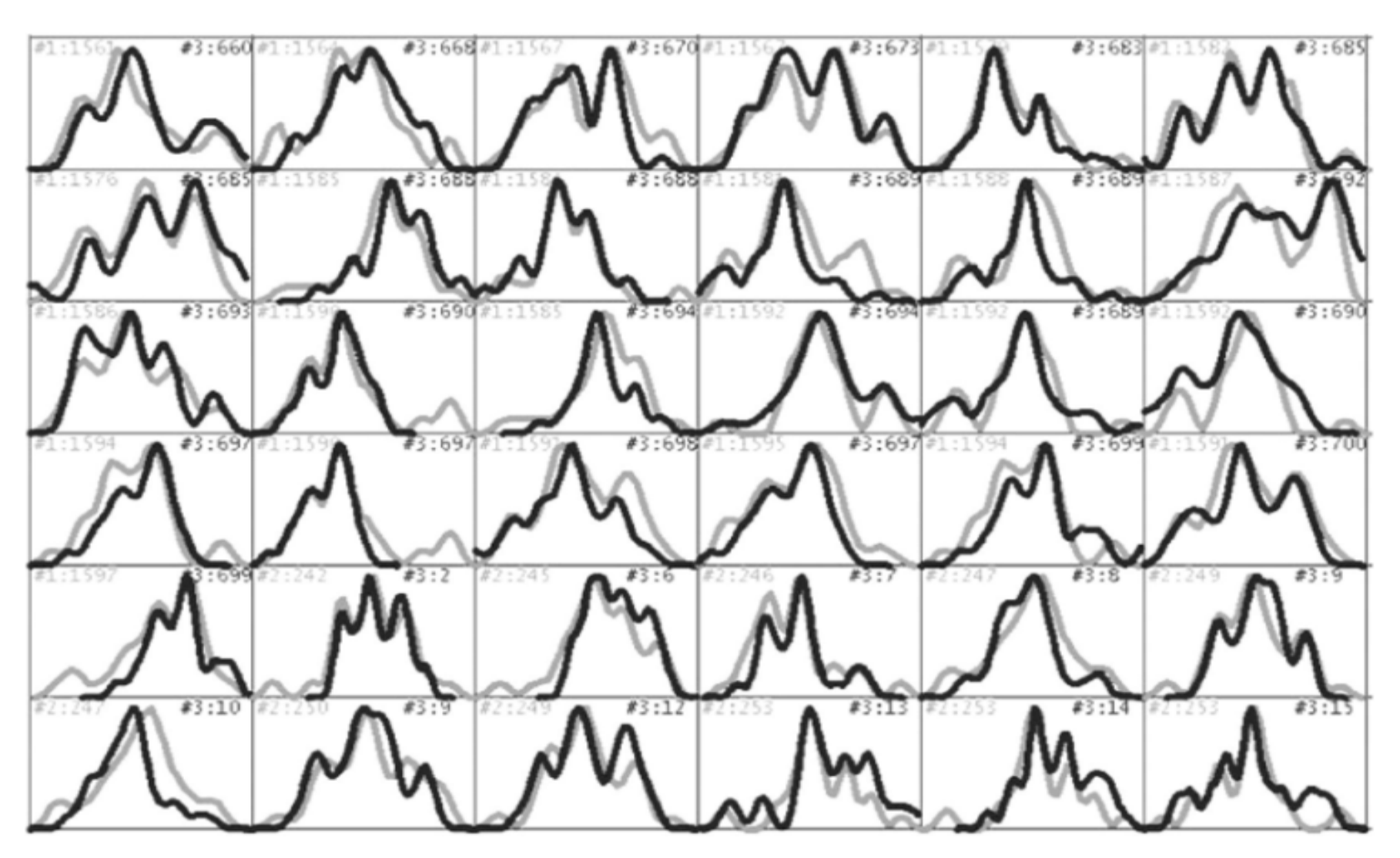


Синхронное изменение ферментативной активности в разбавленном растворе креатинкиназы

2 ЭТАП: Методика измерений МФ и обработка результатов



Методика измерений и обработка результатов

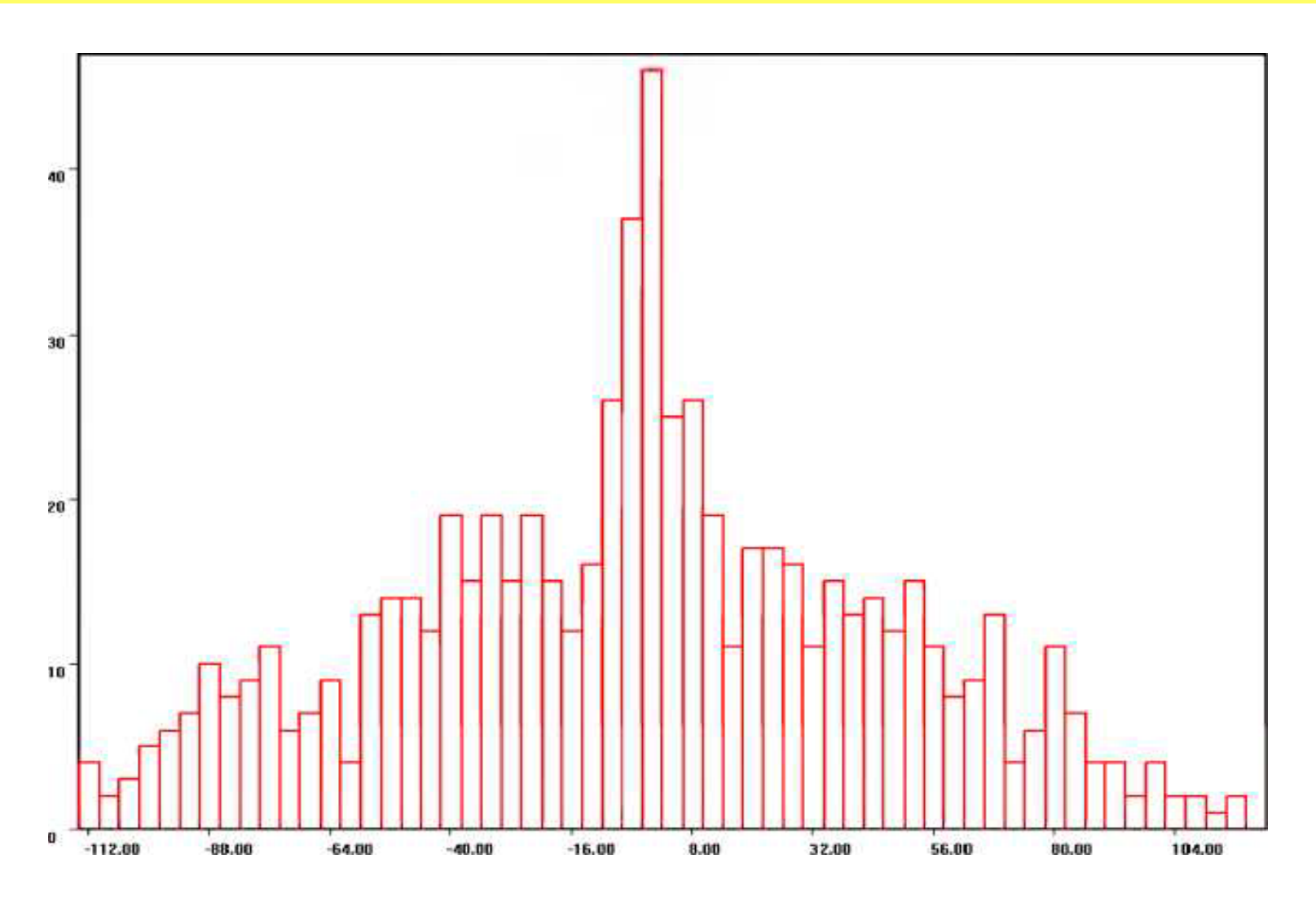


Спектры МФ, измеренные 8.04.2005 г. в <u>шумах полупроводниковой системы - Принстон США</u> (40.3° с.ш., 74,65° з.д.) и при α -распаде ²³⁹Ри в экспериментах в Пущино (54.7° с.ш., 37,6° з.д.)

при разности «местного времени» 448 мин

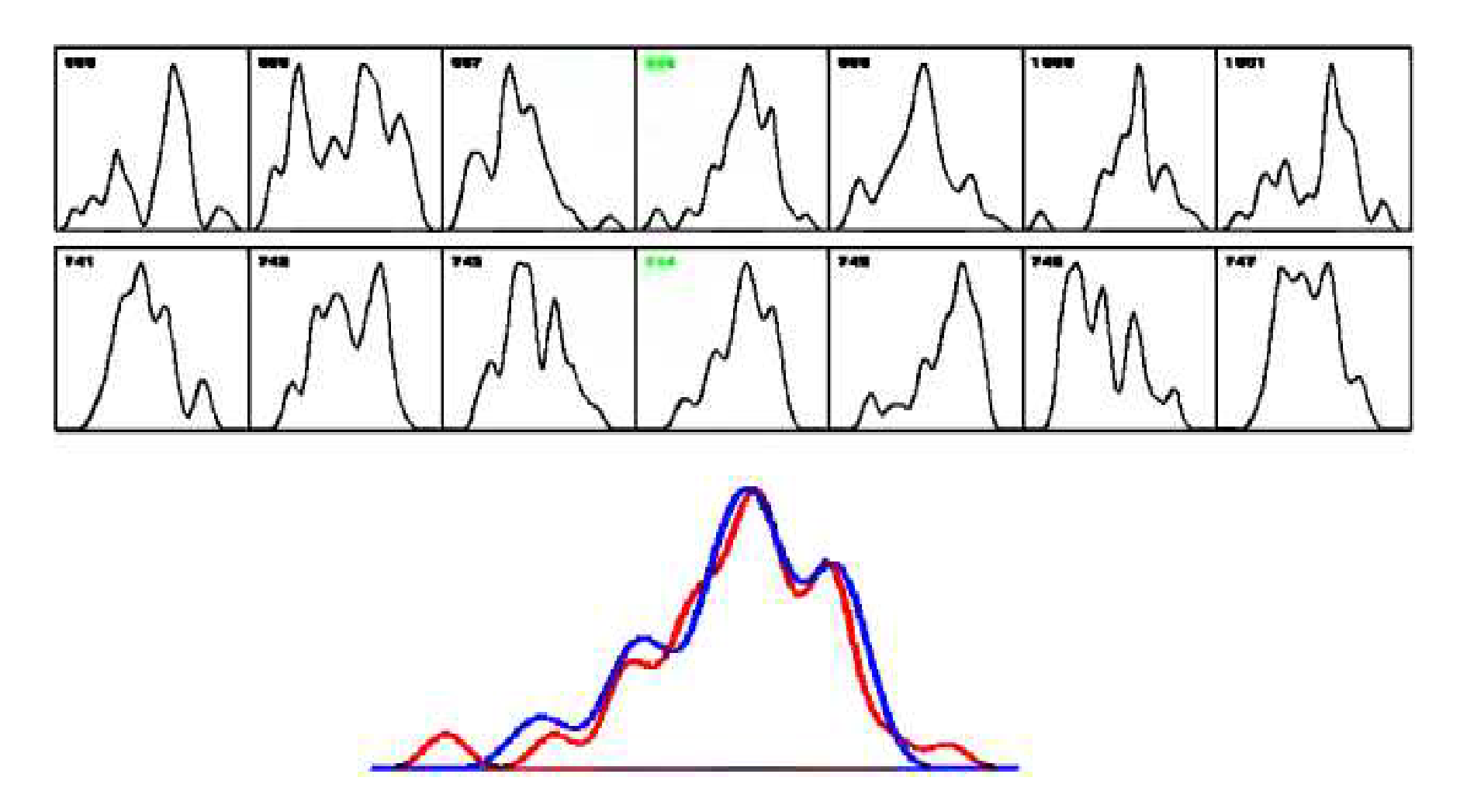
10

Обработка гистограмм на ЭВМ по специальных программам



Результаты сравнения гистограмм при измерениях <u>шумов в гравитационной антенне</u> "Улитка" в ГАИШ (Москва) и гистограмм при измерениях <u>α-активности ²³⁹Pu</u>в Пущино (18.07–13.08.1997). Различие изменений при α-распаде и в шумах гравитационной антенны составляет <u>более 10!</u> Порядков.

Солнечные затмения



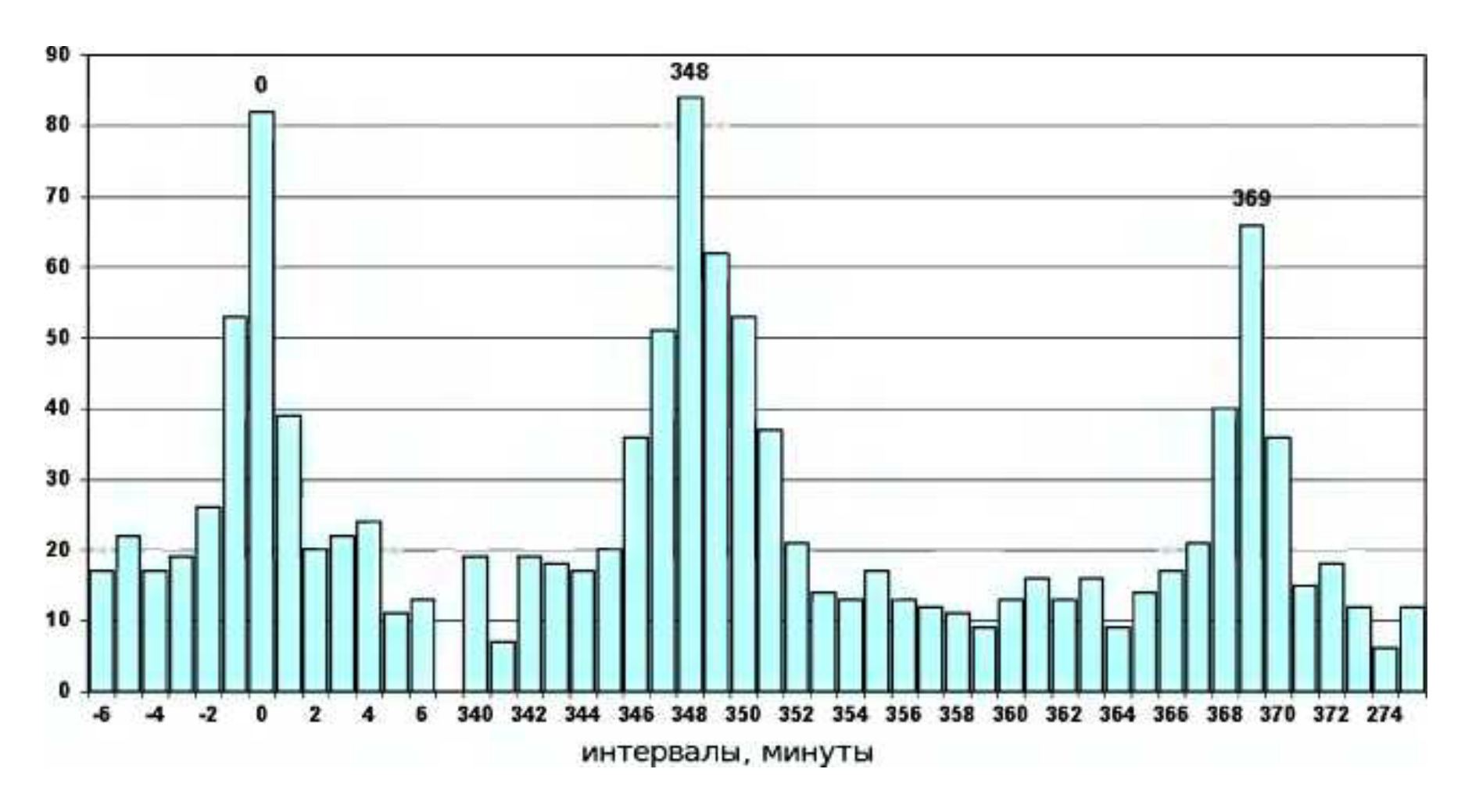
Верхняя строка — гистограммы, построенные по измерениям альфа-активности ²³⁹Ри в Пущино во время Солнечного затмения <u>19 апреля 2004 г.</u>

Нижняя строка — то же по измерениям во время Солнечного затмения <u>31 июля 2000 г.</u>

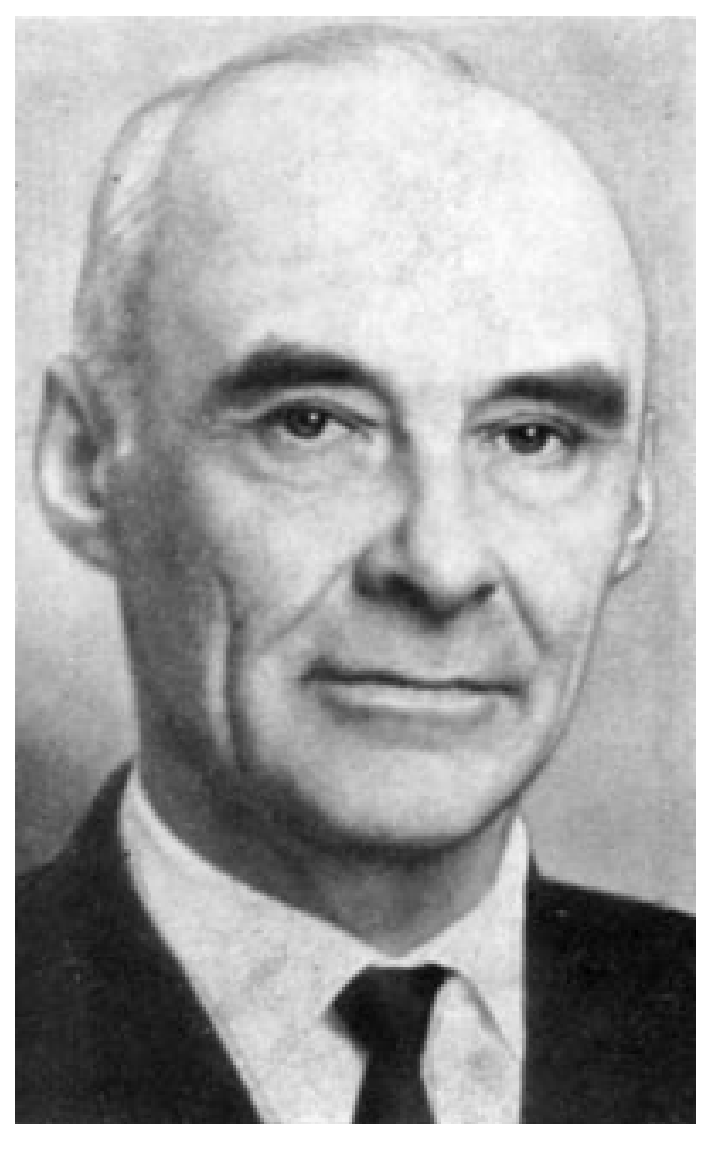
Гистограммы за одну минуту до максимума затмения помещены в центре строк. Внизу эти гистограммы нарисованы при наложении друг на друга.

12

Влияние вращения Земли вокруг Солнца на альфа-распад ²³⁹Ри

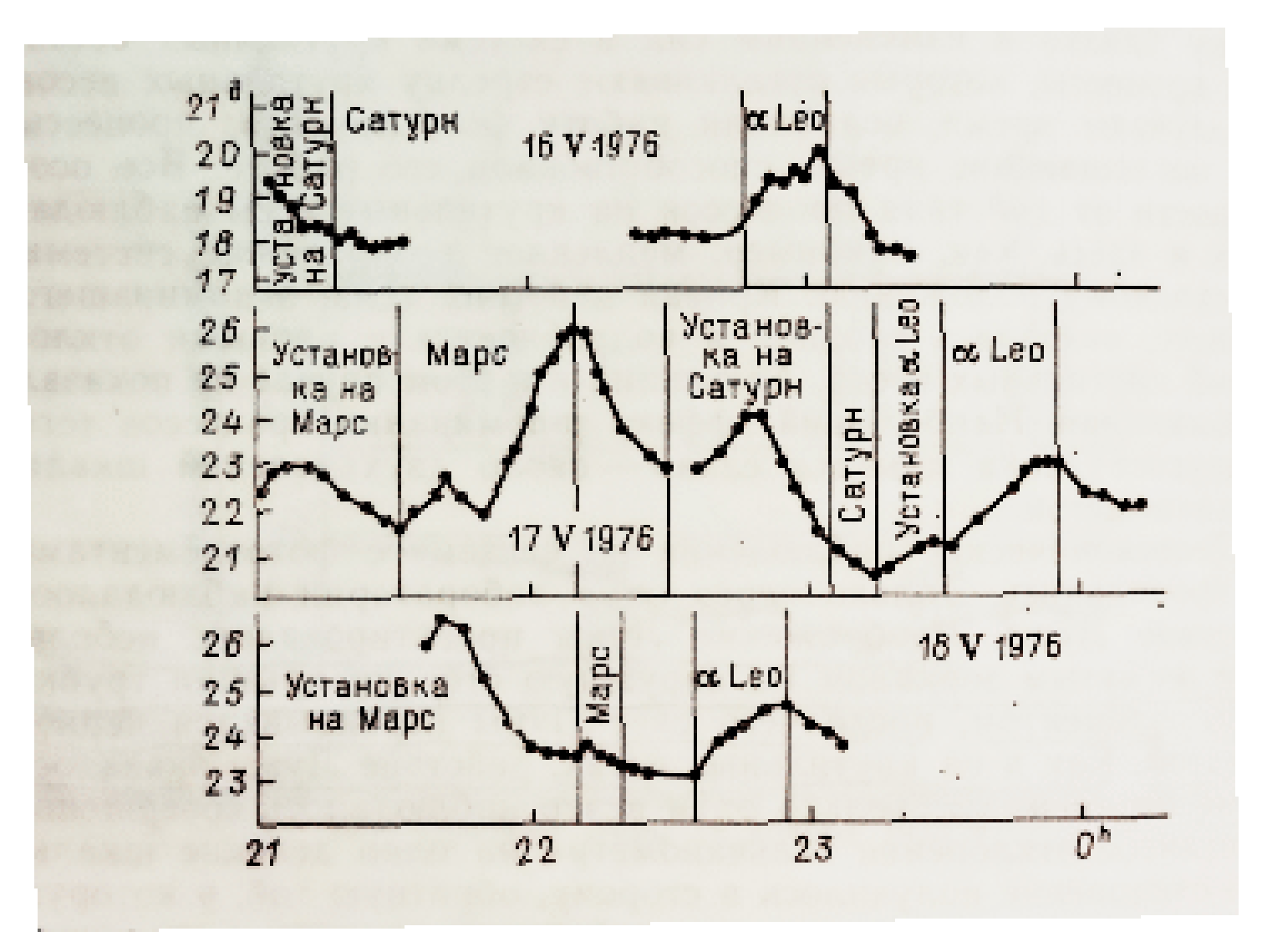


Календарный, Тропический и Сидерический годичные периоды появления гистограмм сходной формы. По оси абсцисс интервалы после вычета числа минут в календарном годе (минуты). По ординате — число сходных пар, соответствующее данной величине интервала. Построены по результатам измерений С.Н. Шаповалова в Антарктике в 2007-2008 г.г.



Николай Александрович Козырев (2.09.1908— 27.02.1983) астрофизик, доктор физико-математических наук (1947). Пулковская обсерватория, Крымская астрофизическая обсерватория

Эксперименты Н.А. Козырева на телескопе РМ-700 в Пулкове



Наблюдение изменений сопротивления проводника под действием звезды а Leo (Регул), Сатурна и Марса

Форма спектров макроскопических флуктуаций в процессах разной физической природы:

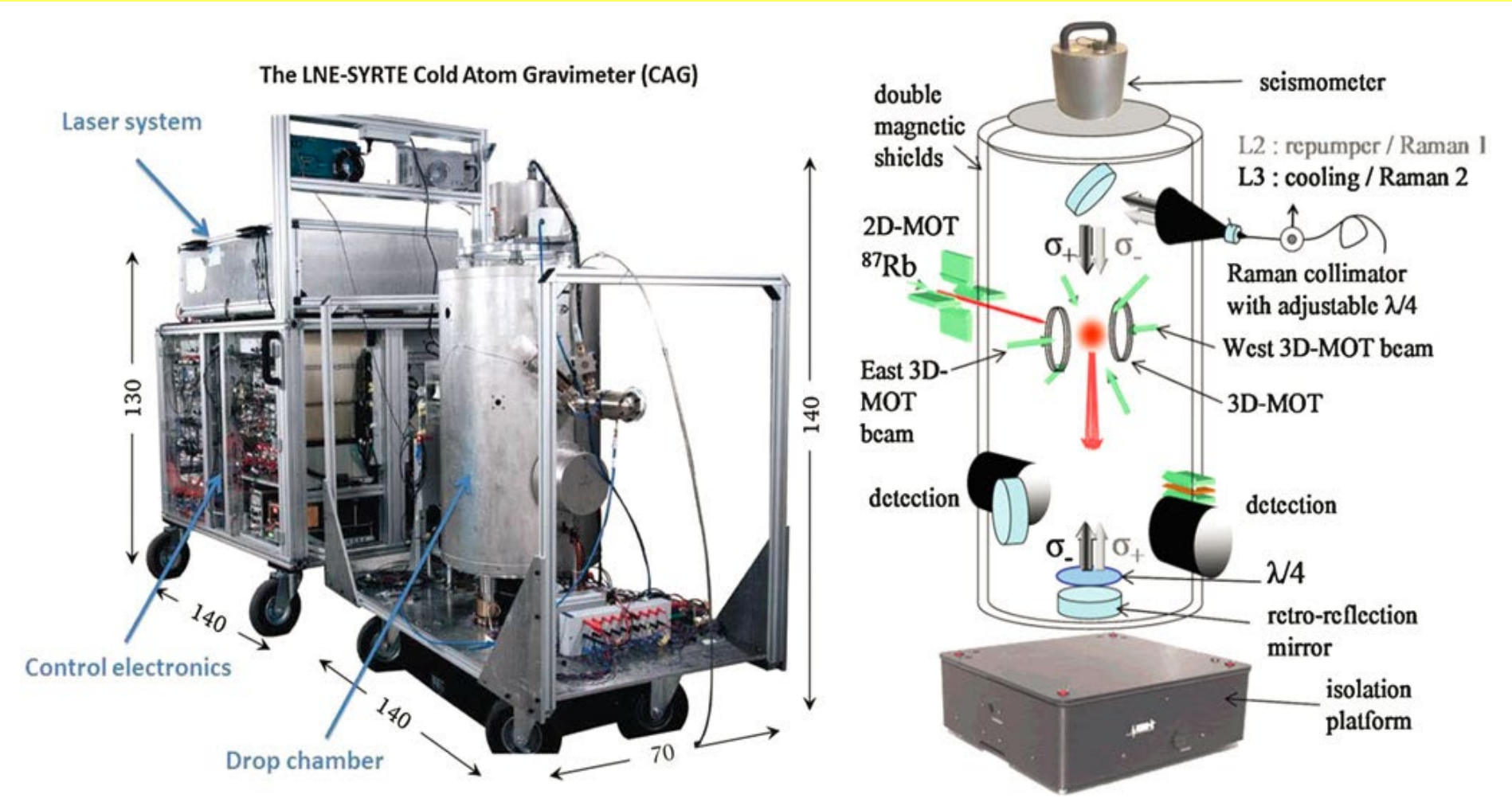
- 1. Зависит от широты места;
- 2. Является сходной в соседних интервалах времени;
- 3. Повторяется с суточными, месячными и годичными периодами;
- 4. Зеркально симметрична в спектрах МФ через половину соответствующего периода.

Строгое повторение сходных гистограмм МФ через периоды суточного и годичного вращения Земли, и месячного вращения Луны вокруг Земли, а также при редких неординарных событиях в Солнечной системе, требует выполнения двух обязательных условий:

- 1. Околоземное поле гравитации является <u>векторным</u> и наряду с Землей его формируют другие объекты космоса;
- 2. Носителями силы притяжения в законе всемирного тяготения Ньютона являются *гравитоны*.

измерение энергии гравитонов

Холодно-атомный гравиметр CAG с чувствительностью $\alpha = 10^{-9}$ gal



Прибор основан на использовании бозе-эйнштейновского конденсата из ~10⁸ атомов Cs или Rb, Рамановского лазера, охлаждающего конденсат до T ~10⁻⁵ K, и двух лучевого интерферометра, аналогичного интерферометру Маха-Цендера в оптике, анализирующего кванты электромагнитного излучения конденсата.

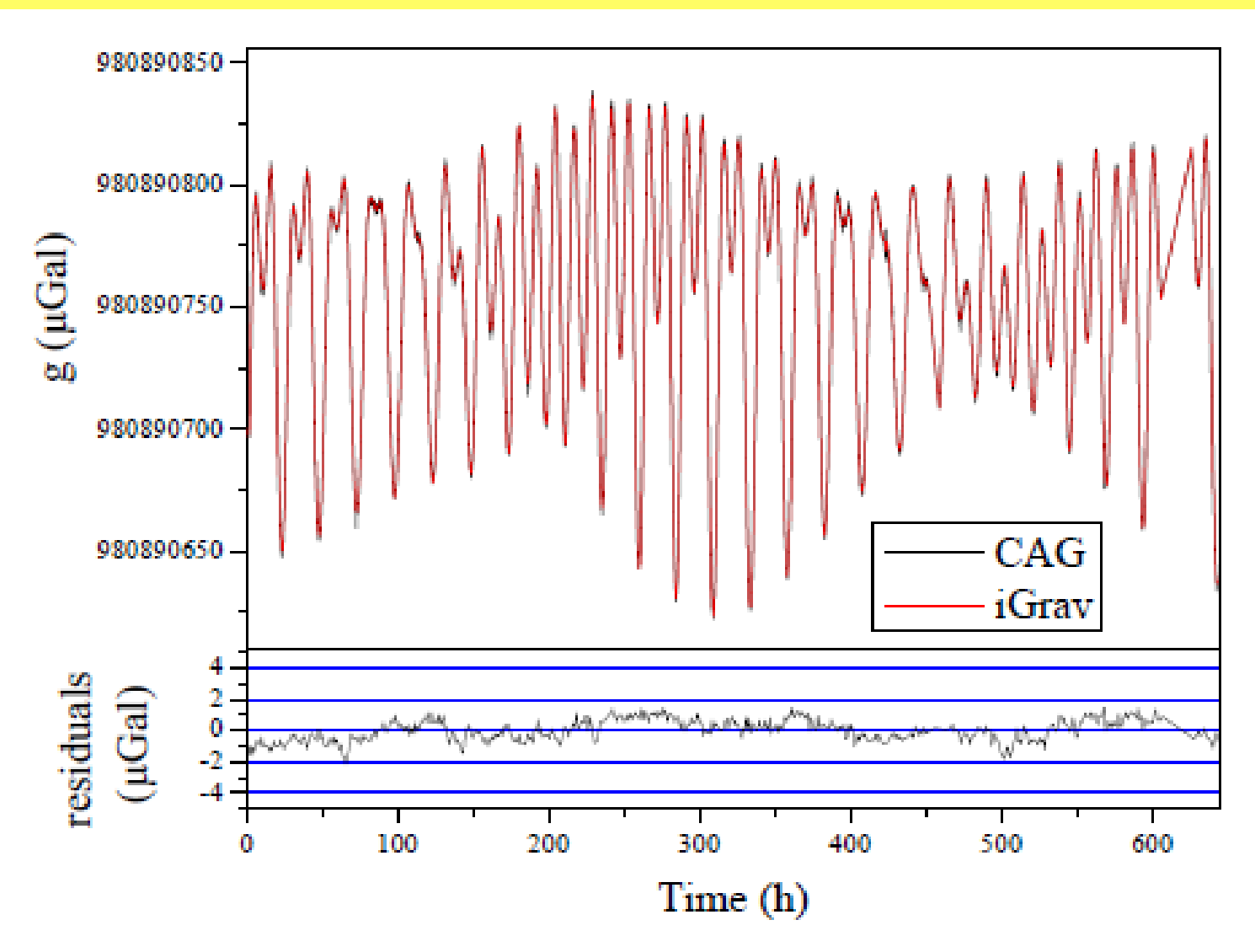
Ускорение на поверхности Земли вызванное космическими объектами

Расчетная формула: $α = GM/R^2$

где G – гравитационная постоянная, M – масса объекта, R – расстояние до поверхности Земли

Object	Mass M (kg)	Distance R (km)	Acceleration α (gal)	
Earth	5.972×10 ²⁴	6378,1 6356,8	980.665	
Sun	1.989×10 ³⁰	1.46 ×10 ⁸ 1.52 ×10 ⁸	5.96×10 ⁻¹	
Moon	7.347×10 ²²	3.62 ×10 ⁵ 4.05 ×10 ⁵	3.74 ×10 ⁻³ 2.99 ×10 ⁻³	
Venus	5.974×10 ²⁴	3.80 ×10 ⁷ 2.61 ×10 ⁸	2.76 ×10 ⁻⁵ 5.85 ×10 ⁻⁷	
Mars	6.417×10 ²³	5.46 ×10 ⁷ 4.01×10 ⁸	1.43 ×10 ⁻⁸ 2.67 ×10 ⁻⁹	
Jupiter	1.9×10 ²⁷	5.88 ×10 ⁸ 9.67 ×10 ⁸	3.67 ×10 ⁻⁵ 1.68 ×10 ⁻⁵	
Saturn	5.9 ×10 ²⁶	1.35×10 ⁹ 1.69 ×10 ⁹	2.16 ×10 ⁻⁸ 1.38 ×10 ⁻⁸	

Холодно-атомный гравиметр САG



Непрерывные показания в течение 25 дней холодно-атомного гравиметра CAG и сверхпроводящего гравиметра iGrav. Внизу – разность показаний гравиметров

ВЫВОДЫ ПО ГРАВИТАЦИИ (из экспериментов С.Э. Шноля)

- 1. <u>Гравитоны не «прилетают» на Землю из космоса, а передают энергию гравитационного поля телам непосредственно на месте</u>. Ничем иным, кроме как <u>виртуальными векторными бозонами</u>, гравитоны быть не могут. Следуя квантовой теории поля, время жизни виртуальных гравитонов $t_g \sim \hbar/w_g = 1/v_g \sim 10^{-9}$ сек, а их радиус действия $r \approx \hbar/mc < 10$ см.
- 2. <u>Поле гравитации</u>, обменивающееся с телами энергией посредством гравитонов, <u>векторное и определяется суперпозицией сил притяжения всех материальных тел, которые в каждой точке пространства создают это поле по закону всемирного тяготения Ньютона.</u>
- 3. Математически такое силовое поле можно описать <u>тензором в векторном</u> пространстве ранга N. Ранг тензора и размерность пространства определяет число тел N, создающих это поле по закону тяготения Ньютона. Число тел N может быть бесконечным, однако достаточно ограничиться лишь теми, чье влияние на поле гравитации интересует. В результате, в любой точке пространства поле гравитации можно представить системой N векторов, каждый из которых определяет силу притяжения соответствующего объекта.
- 4.) При перемещении из одной точки пространства в другую направление и длина векторов меняются, но их число N неизменно. При этом все изменения в N-мерном поле гравитации происходят квантовыми скачками с участием виртуальных гравитонов.

22

Апробация «виртуально-квантового» механизма взаимодействия фотонов света с полями гравитации в космосе

Постановка задачи для фотонов

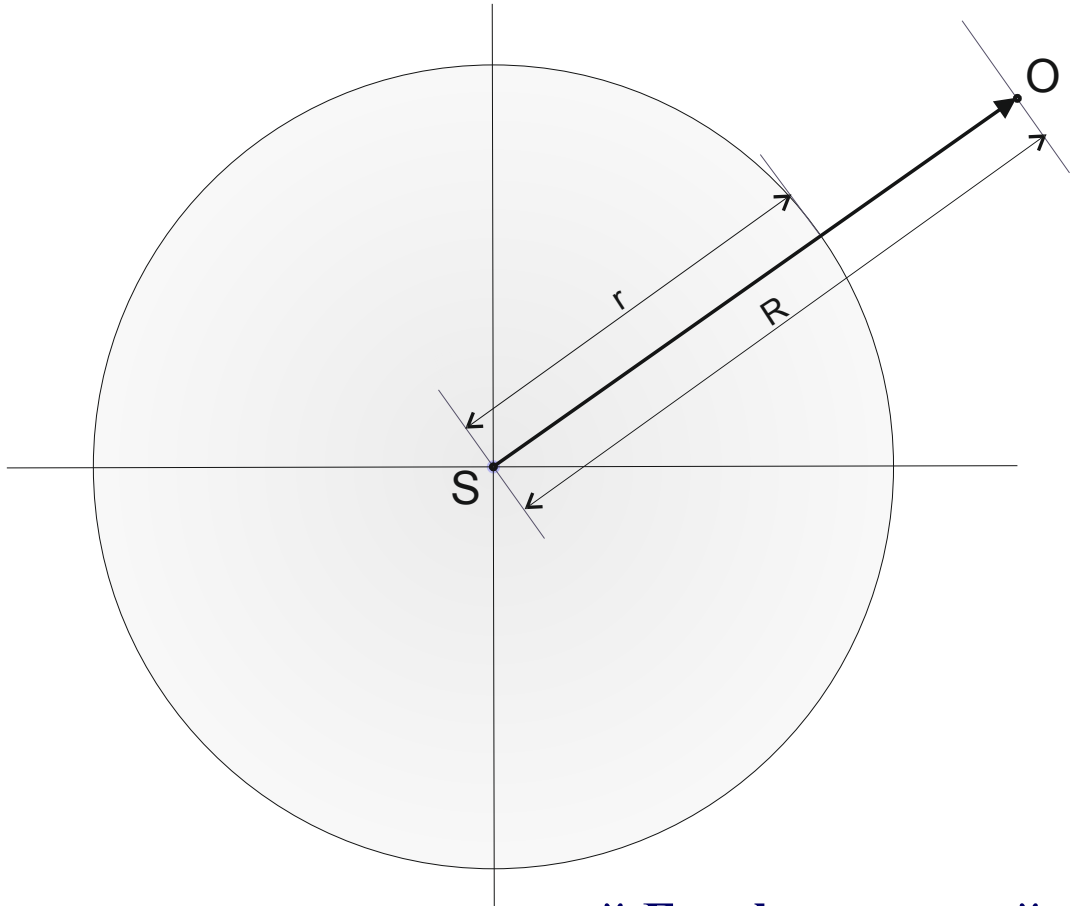
Являясь квантовыми частицами, фотоны света при взаимодействии с полями гравитации в космосе теряют энергию, испуская кванты электромагнитного излучения с энергией w_q .

Потеря фотонами энергии происходит до тех пор, пока их текущая энергия не достигнет термодинамического равновесия с космическим пространством, обладающим температурой 2.725 К.

Это равновесное излучение с температурой 2.725 К есть космический микроволновый фон, который определяется энергетическим спектром виртуальных гравитонов

Для обоснования данного вывода автором построены две теоретические модели, которые объясняют красные смещения фотонов далеких источников света в законе Хаббла и физическую природу микроволнового фона. 24

Модель 1: Вывод формулы Хаббла



S – источник квантов света с энергий $E_0 = hv_0$ и массой $m_0 = hv_0/C^2$;

О – наблюдатель;

r – текущее расстояние от источника;

R – расстояние между источником и наблюдателем.

Источник и наблюдатель находятся в космической среде плотностью р.

Расчет постоянной Хаббла

Сила гравитационного притяжения кванта космической средой

$$F = G \frac{M(r)m(r)}{r^2}$$

$$M(r) = (4/3)\pi \cdot \rho \cdot r^3, \ m(r) \sim m_0 / \widetilde{r}, \ \text{где } \widetilde{r} = r/1 \ \text{Мпк.}$$

Энергия кванта за вычетом работы по преодолению силы притяжения космической среды

$$E = hv = E_0 - \int_0^R F(r) dr$$
 (2)

$$E = hv = E_o - \int_0^R F(r) dr$$

$$hv = E_o - \Delta E = hv_o (1 - \frac{4}{3 \cdot C^2} \pi \cdot \rho \cdot \tilde{r} \cdot G \cdot R)$$
(3)

Knachoe (Meulehue Hactotia Creta)

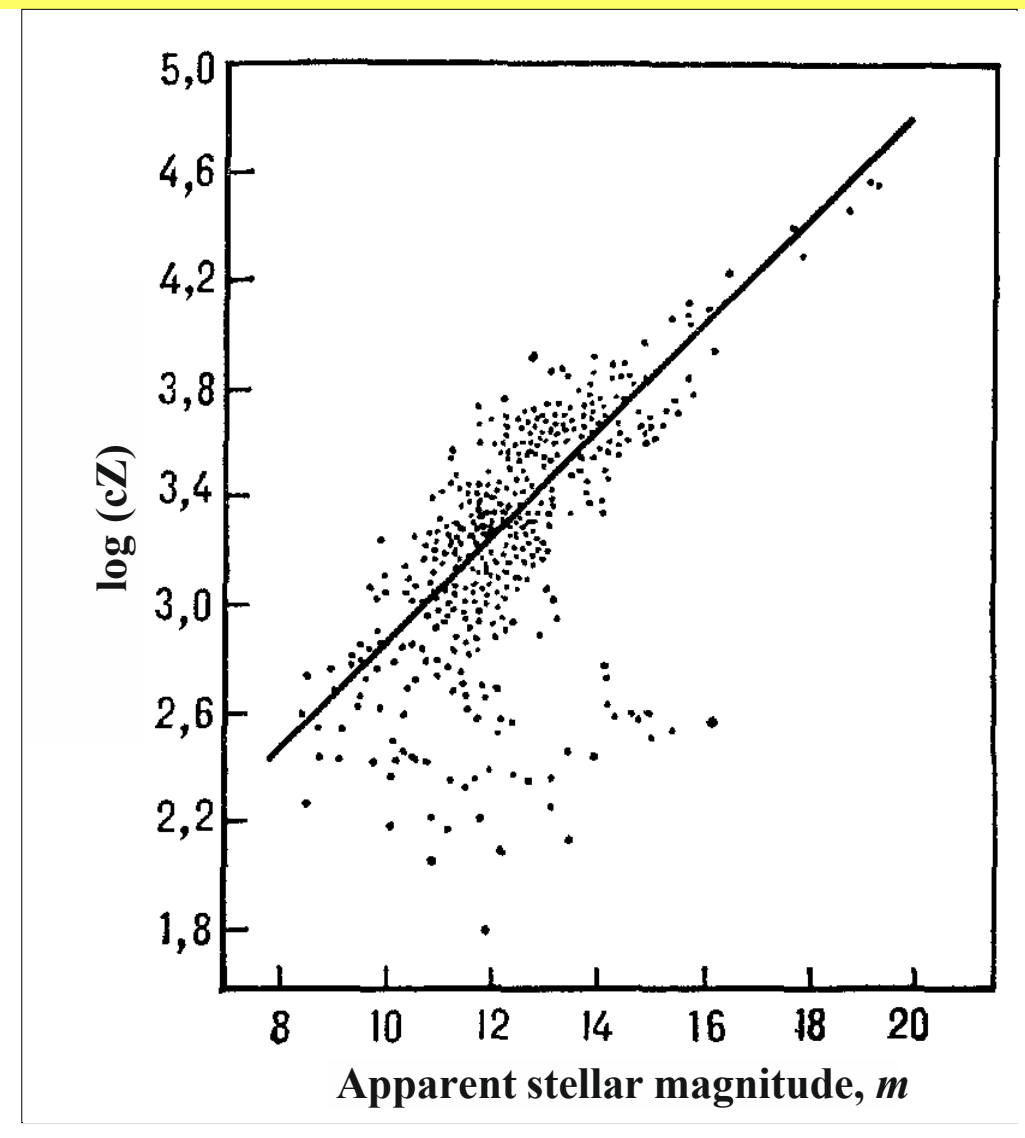
Красное смещение частоты света

$$Z = \frac{v_o - v}{v_o} = \frac{1}{C} \left(\frac{4\pi \rho_o \tilde{r}G}{3C} \right) R$$
 (4)

Плотность вещества космической среды при
$$H_o = 67$$
 км/с на 1 Мпк
$$\rho_o = \frac{3 \text{CH}_o}{4 \pi \tilde{r} G} = \textbf{7.7 } \textbf{10}^{-23} \textbf{ кг/m}^3$$

(5)

Применение формулы Хаббла на практике



Зависимость параметра log(cZ) от видимой звездной величины галактик m = M + 5 log R – 5, где M – абсолютная звездная величина, R – расстояние до галактик. Прямая – закон Хаббла

Основные выводы по Модели 1

- ❖ Вещество, определяющее значение постоянной Хаббла, имеет плотность р ≈ 7.7·10⁻²³ кг/м³, которая на 4 порядка превышает критическую плотность вещества Вселенной в стандартной космологической модели (9.7·10⁻²⁷ кг/м³).
- \star Данную плотность не могут обеспечить ни водород, чья концентрация в космическом пространстве ~1 атом/дм³ ($\rho = 1.67 \cdot 10^{-24} \text{ кг/m}^3$), ни нейтрино ($\rho \sim 3 \cdot 10^{-28} \text{ кг/m}^3$), ни реликтовое излучение ($\rho \sim 4.5 \cdot 10^{-31} \text{ кг/m}^3$).
- ❖ Этим веществом являются «старые» звезды малых масс (≈ 0.5 М_☉), которые не проявляют себя в излучении света. Они давно завершили эволюцию и теперь участвуют в круговороте барионной материи. Их концентрация в пространстве между галактиками ~3·10⁻³ звезд/пк³. Что на ~2-3 порядка ниже средней плотности звезд в самих галактиках.
- ❖ Из-за гравитационной неустойчивости космической среды по Джинсу, эти звезды образуют сгущения ~ 0.5 Мпк и общим количеством звезд в сгущении ~ 2⋅10¹⁴. Указанные значения могут служить оценками размера и массы галактик.

Модель 2: Объясняет гравитонами спектр микроволнового фона

- ▶ Модель использует два аргумента, позволяющие теоретически вычислить параметры КМФ, которые в настоящее время измерены в экспериментах СОВЕ, WMAP и Plank:
 - Спектральное распределение фотонов КМФ с высокой степенью точности является чернотельным с температурой T = 2.725 K,
 - Фотоны имеют среднюю энергию *E* ≈ 6×10⁻⁴ эВ,
- Число фотонов в единице объема равно n ≈ 416 см⁻³,
- Плотность энергии в КМФ $\varepsilon = 4.2 \times 10^{-13}$ эрг/см³ или 0.26 эВ/см³.

Аргумент 1

- ❖ КМФ и его температура были предсказаны как собственное чернотельное излучение космического пространства. Первым определил температуру в 1896 году С. Гийом, получивший Т = 5.6 К.
- ❖ <u>А. Эдингтон</u> в <u>1926</u> г. вычислил поступающий на Землю поток оптического излучения звезд, составивший $U = 5.75 \times 10^{-3}$ эрг см⁻²с⁻¹.
- **Е**. Регенер в 1933 году измерил поток энергии ночного неба и определил его температуру, применив закон Стефана-Больцмана. По измерениям Регенера поток энергии излучения всех звезд на границе атмосферы составил $U = 3.53 \times 10^{-3}$ эрг см⁻² с⁻¹.

Температура ночного неба, рассчитанная по формуле Стефана-Больцмана: $U = \sigma T^4$ (где $\sigma = 5.67 \times 10^{-5}$ эрг·см⁻²·с⁻¹·K⁻⁴ – постоянная Стефана-Больцмана), получена равной $T = (U/\sigma)^{1/4} = 2.8$ К.

Это значение совпадает с температурой КМФ T = 2.725 K.

Аргумент 2

- ❖ Аргумент касается энергии, выделяемой молодыми OB-звездами в оптическом диапазоне при синтезе ⁴He по J. Burbidge and F. Hoyle (1998). В этой работе авторы подтвердили сделанный ими ранее вывод (Burbidge et al., 1957), что изотопы легких химических элементов (D, ³He, ⁶Li, ¬Li, ⁰Be, ¹⁰B и ¹¹B) возникли не при Большом взрыве, а синтезированы, как и ⁴He из водорода в молодых звездах в течение последних 100 млн лет.
- ❖ Плотность энергии в космическом пространстве, выделенной звездами при синтезе ⁴He, по расчетам J. Burbidge and F. Hoyle (1998) составляет величину <u>4.37×10⁻¹³ эрг/см³</u>. Это значение отличается от плотности энергии КМФ <u>4.2×10⁻¹³ эрг/см³</u> всего на 4%.
- ❖ Близки к плотности энергии КМФ также плотности энергии космических лучей (Гинзбург, 1984), галактического магнитного поля и турбулентного движения межзвездного газа (Sciama, 1973).

Гарвардская классификация звезд основных спектральных классов

Класс	Температура, К	Истинный цвет	Видимый цвет	Macca, M _⊙	Радиус, R _⊙	Светимость, L _⊙	Линии водорода	Доля в глав. послед., %	Усреднённый возраст, лет
0	30 000—60 000	голубой	голубой	60	15	1 400 000	слабые	~0,00003034	10 ⁷

2,1

1,3

1,1

0,9

0,4

20 000

80

6

1,2

0,4

0,04

5*10⁷

5*10°

5*10°

10¹⁰

5*10¹⁰

10¹²

32

0,1214

0,6068

3,03398

7,6456

12,1359

76,4563

средние

сильные

средние

слабые

очень

слабые

очень

слабые

бело-

голубой и

белый

белый

белый

жёлтый

желтовато-

оранжевый

оранжево-

красный

18

3,1

1,7

1,1

0,8

0,3

бело-голубой

белый

жёлто-белый

жёлтый

оранжевый

красный

0 30 000-60 000

10 000-30 000

7500-10 000

6000-7500

5000-6000

3500-5000

2000-3500

В

A

F

G

K

M

Модель 2: Главный вывод

П					
космохимическим круговоротом барионного вещества.					
космического пространства Т = 2.725 К, которая определяется					
равновесии с другими процессами в космосе при температуре					
Образование звезд и галактик находится в термодинамическом					

космического пространства 1 – 2.725 к, которая определяется космохимическим круговоротом барионного вещества.				
Параметры космического пространства	Значение параметра			

~3×10⁻³ pc⁻³

Концентрация «старых» звезд массой (0.5 M_{\odot})

~1.5×10⁻⁷ pc⁻³, Концентрация «молодых» ОВ-звезд массой (50 M_o) ~ 2×10⁻⁴ Отношение «молодых» и «старых» звезд

 $3.53 \times 10^{-3} \text{ erg} \cdot \text{cm}^{-2} \cdot \text{s}^{-1}$ Поток света ОВ-звезд около Земли [Regener ,1933] 4.37×10^{-13} erg/cm³ Плотность энергии OB-звезд [Burbidge, Hoyle, 1998]

Плотность энергии КМФ [СОВЕ, 1992]

Средняя энергия фотонов КМФ [СОВЕ, 1992]

Время жизни «молодых» ОВ-звезд в галактиках

Время жизни «старых» звезд в Метагалактике

Среднее время круговорота и жизни галактик

 $4.2 \times 10^{-13} \text{ erg/cm}^3$

33

6×10⁻⁴ eV

5×**10**⁷ years

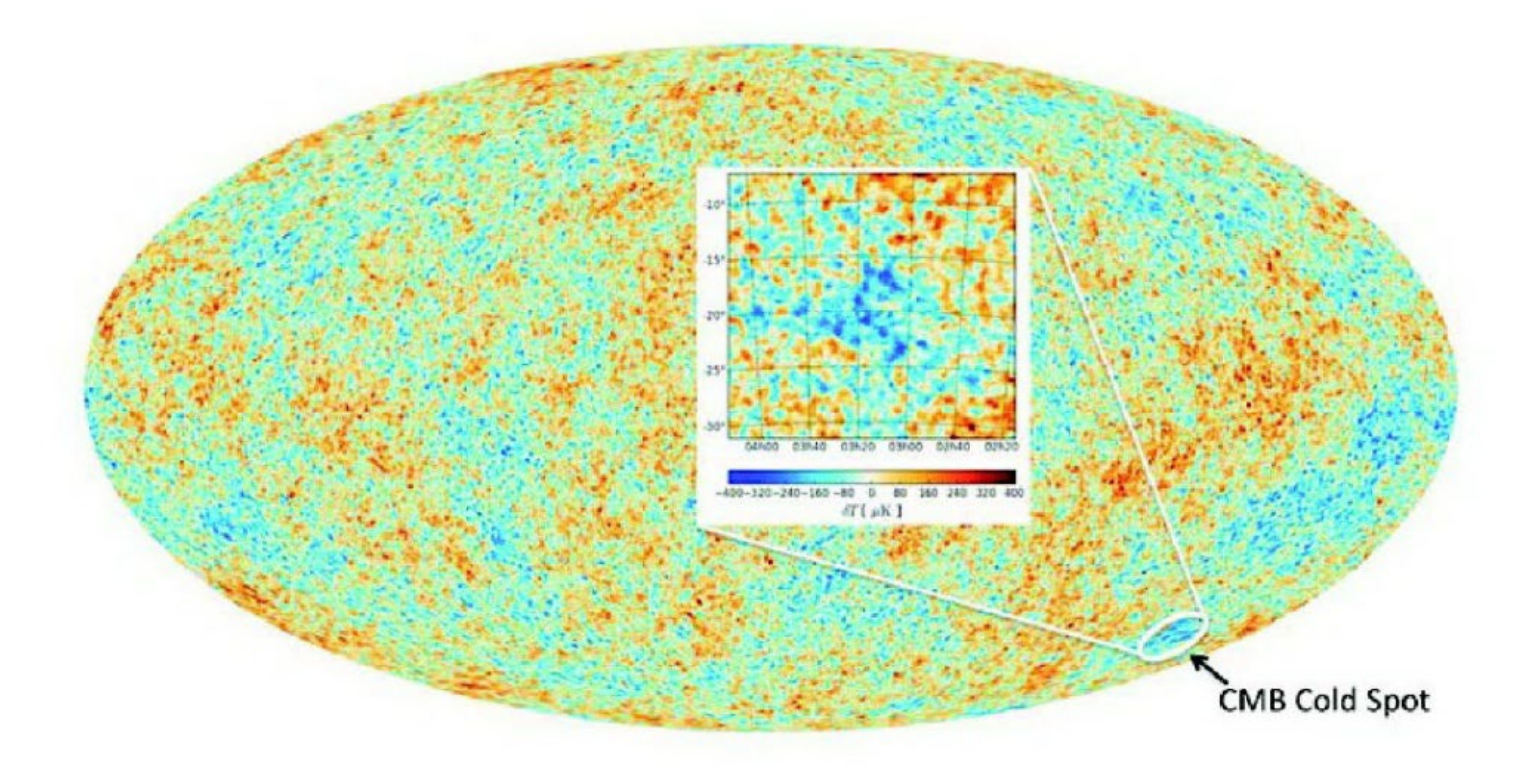
~10¹³ years

~10¹³ years

Выводы по обеим моделям

- 1. Построены две модели, реализующие «виртуально-квантовый» механизм взаимодействия света с полями гравитации в космосе. Первая модель объясняет виртуальными гравитонами закон Хаббла и образование космического микроволнового фона (КМФ).
- 2. Вторая модель рассматривает космохимический круговорот барионного вещества в Метагалактике и отождествляет спектр КМФ с распределением по энергиям виртуальных гравитонов.
- 3. Круговорот вызван непрерывным образованием и эволюцией галактик и звезд и находится в термодинамическом равновесии с космическим пространством при его температуре 2.725 К.
- 4. Термодинамическое равновесие достигается при определенном соотношении концентрации в космосе «старых» и «молодых» ОВ звезд, участвующих в космохимическом круговороте барионного вещества с характерным временем ~10¹³ лет.

Вариации температуры космического микроволнового фона



Наиболее сильно T_{CMB} отличается в направлении «холодного пятна» размером 5° в районе созвездия Эридана, выявленном WMAP. В этом направлении температура КМФ на 70 мкК ниже, чем в среднем по небу (18 мкК), а в центре пятна она падает на 140 мкК. Пятно Эридана совпадает по направлению с областью крупного войда, не содержащего внутри себя ни галактик, ни молодых звёзд.

Войд имеет диаметр 450 млн св. лет, длину 1.8 млрд св. лет и удален от нас на 3 млрд св. лет. Отсутствие молодых звезд в этом и других войдах снижает плотность КМФ и его температуру.

Заключение

- 1. Экспериментально обнаружены гравитоны физические носители силы гравитационного притяжения материальных тел. Гравитонами являются виртуальные векторные бозоны с энергией ~10⁻⁵–10⁻⁴ эВ.
- 2. Явление гравитации математически адекватно описывается тензором в <u>векторном пространстве</u>, ранг которого определяется числом тел, создающих в каждой точке физического пространства силу притяжения по закону всемирного тяготения Ньютона.
- 3. Закон красных смещений Хаббла и происхождение космического микроволнового излучения физически адекватно объясняются «виртуально-квантовым» механизмом взаимодействия фотонов света далеких галактик с гравитационными полями в космосе.
- 4. «Виртуально-квантовый» мгновенно действующий на расстоянии механизме гравитации с участием гравитонов доказывает отсутствие в космосе гипотетических «темной» материи и «темной» энергии.
- 5. Подтвержден вывод Ф. Хойла (1969), что гравитация является источником энергии всех физических процессов в космосе.

БЛАГОДАРЮ ЗА ВНИМАНИЕ!